

# طرح خطوط لوله نفت و گاز مدفون برای گذر از گسل

دکتر سیروس فخر پاسری  
دانشیار مهندسی سازه  
دانشگاه صنعتی شریف

چکیده

در این مقاله روش ساده‌ای برای تحلیل لوله‌های نفت مدفون تحت تاثیر حرکات نسبی بزرگ زمین در محل گذر از گسل عرضه شده است. الگوی گیستختی زمین، ناشی از حرکات زمین لرزه، مشخص شده و روشی برای محاسبه تنشها بهث شده و مشخصات مهارگشته‌گی خاک ببروی لوله نیز به حساب آورده شده است. گاربرد روش با مثالی عملی تشریح شده. در پایان توصیه‌هایی به منظور افزایش توانایی لوله برای تحمل حرکات نسبی بزرگ زمین در امتداد گسل آورده شده است.

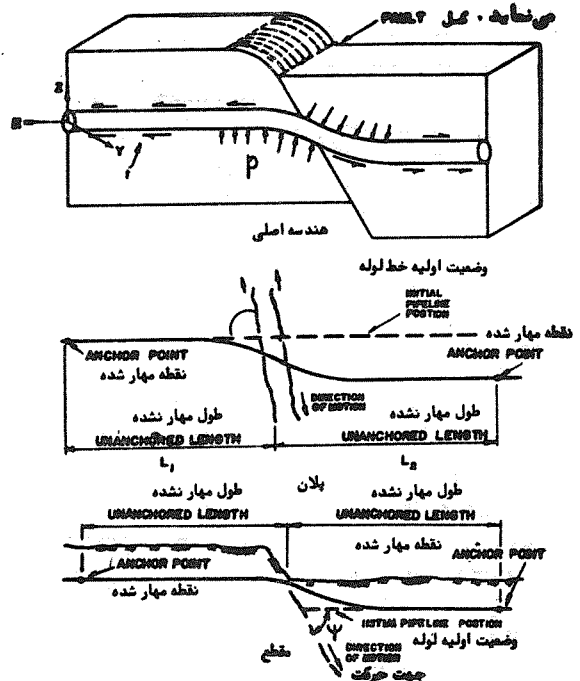
کمانش در زلزله‌های قبلی مشاهده شده‌اند.

## ۲- حرکات زمین

اگر وقتی که زمین در اثر زلزله در گسلها حرکت می‌کند لوله با آن همراهی نکند و جوری در برابر آن مقاومت نماید، بسته به میزان حرکت نسبی بین لوله و زمین اطرافش، در لوله تنش پیدا می‌شود. در شکل ۱ تغییر شکل اختتالی لوله مدفونی را در تحت تاثیر حرکات گسل عادی و لغزش جانی نشان می‌دهد. همان‌گاه ملاحظه می‌شود، حرکت جانی گسل موجب جابجایی لوله نسبت به خاک می‌گردد که در اثر آن خاک به لوله بعulet رونگرایی خاک، حرکت جانی خاک، زمین لغزه و مهم‌تر از همه حرکت زمین در محل گسل در امتداد لوله است. اثرات گروه دوم تنشها را با انتخاب مناسب مسیر لوله می‌توان تقلیل داد ولی اجتناب آنها در کشور زلزله خیزی چون ایران امکان‌پذیر نیست.

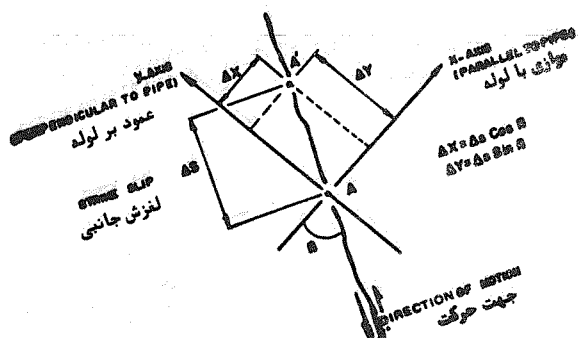
در این مقاله یک روش ساده اما دقیق برای محاسبه لوله‌های نفت و گاز تحت تاثیر حرکات نسبی بزرگ زمین در محل گسل ارائه شده است. هدف اصلی ارائه روشی ساده برای محاسبه تنشها در خطوط لوله‌ای است که از گسلها عمور می‌کنند.

رفتار لوله در میان‌اطقی که زمین حرکت داعی کرده به این بستگی دارد که تغییر شکل تحمل شده به لوله فشاری است یا کششی. در اثر تغییر مکانی‌های بزرگ گسل، لوله تحت خمش و نیروی محوری قرار می‌گیرد. این نیروی محوری ممکن است فشاری یا کششی باشد. کششی یا فشاری بودن نیروی محوری بستگی به زاویه‌ای دارد که لوله با گسل در محل گذر می‌سازد. در اثر نیروی فشاری ممکن است لوله از جای خود به بیرون رانده شود و به صورت تیر به بالا کمانش نماید، و یا همانند پوسته‌ای در جای خود با چین خوردن، مونتیج چداره‌ای، کمانش خواره، هر دو نوع



شکل ۱- خط لوله تحت تاثیر دو نوع حرکت عادی و لغزش جانبی در محل عبور از یک گسل

شکل های ۲ و ۳ نشان می دهند که چگونه حرکات  $\Delta x$ ,  $\Delta y$  و  $\Delta z$  گسل در سه جهت عمود بر هم با زاویه گذر از گسل  $\beta$ ، و زاویه شیب گسل  $\alpha$  برای گسل لغزش جانبی و عادی تغییر می کند. مادلات مربوط به تغییر طول لازم لوله،  $\Delta x$ ، ناشی از حرکت گسل در قسم پنجم داده شده است. مادلات ذکر اهمیت تسبیح حرکت گسل را در امتداد محور لوله نشان می دهند. اگر حرکت زمین در امتداد محور لوله،  $\Delta x$ ، مشبт باشد لوله تحت کشش خواهد بود و در شیوه ای صورت نیروی فشاری بر لوله تحمیل می گردد.



شکل ۲- حرکات نسبی در یک گسل عادی

شکل ۳ اثر یک گسل عادی را نشان می دهد. در تمام موارد در لوله تنش کششی پیدا می شود و با کاستن زاویه گذر می توان از مقدار آن کاست، در حالی که کاستن زاویه در حالت قابلی عکس این اثر را داشت. گسل های لغزش جانبی ممکن (فشاری) معمولاً لوله را تحت فشار قرار می دهند. این اثر را نیز می توان با کاستن زاویه گذر تقلیل داد. برای گسل های لغزش جانبی مایل این دو اثر به صورت ترکیبی ظاهر می شوند. میزان

شکل ۳- حرکات نسبی در یک گسل لغزش جانبی

### ۲-۳- فشار جانبی افقی

کشش در این ترکیب به مقادیر نسبی حرکت لغزشی  $\Delta S$  و حرکت عادی  $\Delta t$  زاویه شبیه  $\beta$  و زاویه گذر از گسل  $\gamma$  بستگی دارد.

**۳- اندرکنش خاک و لوله**  
اندرکنش خاک و لوله، یا باری که خاک در اثر حرکت لوله به آن وارد می‌کند، از مولفهای طولی، جانبی افقی و جانبی قائم تشکیل یافته است. مقدار بار یا مهاری که بر لوله تحمیل می‌گردد غیر خطی است و به مقدار حرکت نسبی لوله و خاک بستگی دارد. "ذیلا" فرمول‌های مناسبی برای محاسبه این سه مولفه از بار خاک داده شده است.  
باید توجه داشت که در سرتاسر این مقاله فقط خاکهای دائمی غیر چسیدنده مورد توجه است.

### ۱-۳- اصطکاک طولی روی لوله

تنش انتقال بار محوری،  $\bar{\sigma}_t$ ، در خاکهای ماسه‌ای به صورت زیر است.

$$\bar{\sigma}_t = \bar{\sigma}_n \tan \delta$$

در اینجا:

$\bar{\sigma}_n$  - تنش قائم موثر در امتداد پیرامون لوله

$\delta$  - زاویه اصطکاک سطح تماس بین خاک و لوله  
مقادیر  $\delta$  ممکن است بین  $0.0\Phi$  تا  $0.5\Phi$  تغییر نماید که در آن  $\Phi$  زاویه اصطکاک داخلی خاک دائمی است. رقم کمتر نماینده وضعیت اصطکاکی بین لوله‌های بدون پوشش محافظ و رقم بزرگتر برای لوله‌های باندپیچی شده و یا زنگ زده است (مرجع ۲).

بار محوری در واحد طول لوله از انتگرال گیری  $\bar{\sigma}_t$  در امتداد سطح تماس بین خاک و لوله به دست می‌آید، در چنین وضعیتی، خداکثر نیروی محوری خاک،  $t_u$ ، برای یک لوله کاملاً مدفون به صورت زیر بیان می‌شود.

$$t_u = \frac{\pi D}{2} \bar{\sigma}_n H (1 + K_0) \tan \delta \quad (1)$$

در اینجا

$K_0$  - ضریب فشار خاک در حالت سکون

$H$  - عمق از سطح زمین تا مرکز لوله

$D$  - قطر خارجی لوله

$\bar{\sigma}_n$  - واحد وزن موثر خاک

باید تأکید شود که معادله (۱) برای حالت سکون است، که در امتداد قسمت‌های جابجا نشده لوله مدفون است که تا حدی از محل گسیختگی خاک فاصله دارد.

برآورده نیروی محوری،  $t_u$ ، برای قسمت منحنی لوله در مجاورت گسل یعنی در رجائی که در اثر حرکت گسل تغییر مکان جانبی زیادی اتفاق می‌افتد دشوار است. در منطقه منحنی شده لوله فشار شعاعی در لوله افزایش می‌یابد. به خاطرا غتشش در خاک و ایجاد اصطکاک حلقوی شدید بین خاک و لوله زاویه اصطکاک طولی نیز افزایش پیدا می‌کند. در مرجع ۴ با استفاده از تعداد زیادی تحلیل، پیشنهاد شده است که نسبت ضرایب اصطکاک در منطقه منحنی شده به منطقه مستقیم از  $2/4$  برای  $H/D$  یک نا  $3/3$  برای  $H/D$  سه معقول است.

فشار جانبی روی لوله در اثر حرکت جانبی لوله پیدا می‌شود. این اندکش خاک و لوله بسیار شبیه دالهای مهاری قائم، دیوارها، یا شالوده‌هایی است که نسبت به خاک پیرامونش بطور افقی حرکت می‌کند و در نتیجه موجب ایجاد فشار منفعل خاک می‌گردد.

براساس آزمایش‌ها برروی لوله‌های مدفون در ماسه‌های خشک و یکواخت، نشان داده شده است که رابطه بین نیرو در واحد طول،  $P_u$  و تغییر مکان جانبی افقی،  $\gamma$ ، به صورت هذلولی است (مرجع: ۵) و به شکل زیر است.

$$P_u = \frac{\gamma}{A' + B' \gamma} \quad (2)$$

در اینجا

$$A = 0.15 \gamma_u / P_u$$

$$B = 0.85 / P_u$$

$$P_u = \bar{\gamma} H N_q h D$$

$\gamma_u = \begin{cases} 0.07 - 0.10(H + \frac{D}{2}) \\ 0.03 - 0.05(H + \frac{D}{2}) \\ 0.02 - 0.03(H + \frac{D}{2}) \end{cases}$	برای ماسه شل
	برای ماسه متوسط
	برای ماسه متراکم
$\bar{\gamma} =$	واحد وزن موثر خاک
$H =$	عقق تا خط مرکز لوله
$N_q h =$	ضریب ظرفیت باربری افقی
$D =$	قطر خارجی لوله
شکل ۴ مقادیر $N_q h$ را به صورت تابعی از $H/D$ برای خاکهای با	شکل ۴ مقادیر $N_q h$ را به صورت تابعی از $H/D$ برای خاکهای با

زوایای اصطکاک داخلی  $35^\circ$  و  $45^\circ$  درجه می‌دهد.

### ۳-۳- فشار جانبی قائم

برعکس دو حالت قبل که در آنها مقاومت جانبی افقی و محوری به جهت حرکت بستگی نداشت، فشار جانبی قائم بسته به این که حرکت رو به بالا باشد یا پائین متفاوت خواهد بود.

حرکت رو به پائین - برای حالت حرکت رو به پائین، فرض می‌شود که خط لوله همانند بی نواری به شکل استوانه است و مقاومت نهایی آن،  $C_u$ ، از فرمول ظرفیت باربری رایج بشرح زیر استفاده می‌شود.

$$q_u = C_u N_c B + \bar{\gamma} H N_q B + \frac{1}{2} \gamma B^2 N_\gamma \quad (3)$$

در اینجا

$N_c$ ,  $N_q$ ,  $N_\gamma$  - ضرایب ظرفیت باربری برای بی نواری افقی که تحت بار قائم بحسبت پائین است (مرجع ۷ را ببینید).

$C$  - چسبیدگی خاک برای مقاومت بررشی زهکشی نشده،

$\gamma$  - واحد وزن کلی خاک

$\bar{\gamma}$  - واحد وزن موثر خاک

$B$  - پهنای بیرون آمده مساحت تماس با خاک، برای لوله مدفون

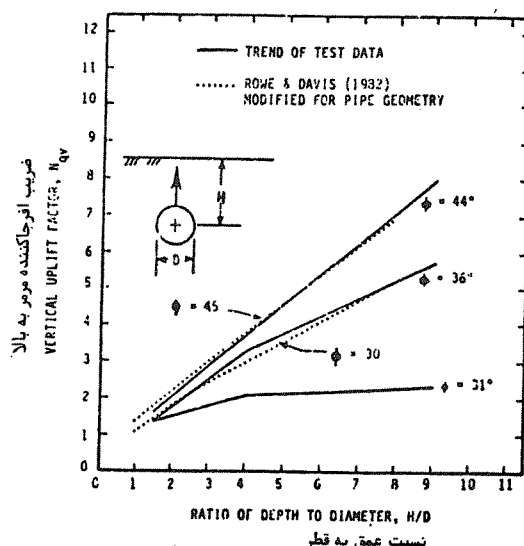
$$B = D$$

حرکت رو به بالا

برای حرکت رو به بالا در ماسه و سایر مصالح بدون چسبندگی داریم :

$$q_u = H\gamma N_{qu} D \quad (4)$$

در شکل ۵ مقادیر  $N_{qu}$  برای جابجایی قائم لوله در ماسه خشک و اشباع شده داده شده است. منحنی های پیر، از نتایج آزمایشی و منحنی های نقطه چین نتیجه تحلیل با روش اجزاء محدود است.



شکل ۵- ضریب نیروی از جا گشته رو به بالا برای ماسه (مرجع ۶)

دقت کافی با معادله رامبرگ - اسکود ناکرنش برای ۵ درصد تقریب زد. رابطه بین کرنش طولی  $\epsilon_x$  و تنش نظیر آن  $\sigma_x$  در هر نقطه ای روی جدار لوله در فاصله  $X$  از محور خشنی با رابطه زیر داده می شود.

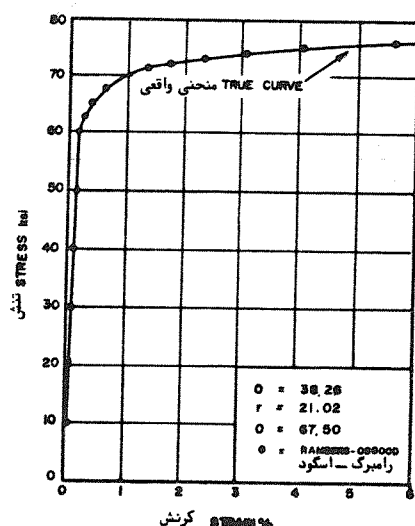
$$\epsilon_x = \frac{\sigma_x}{E_i} = \frac{\alpha}{r+1} \left( \frac{|\sigma_x|}{\sigma_y} \right)^r \quad (5)$$

در اینجا

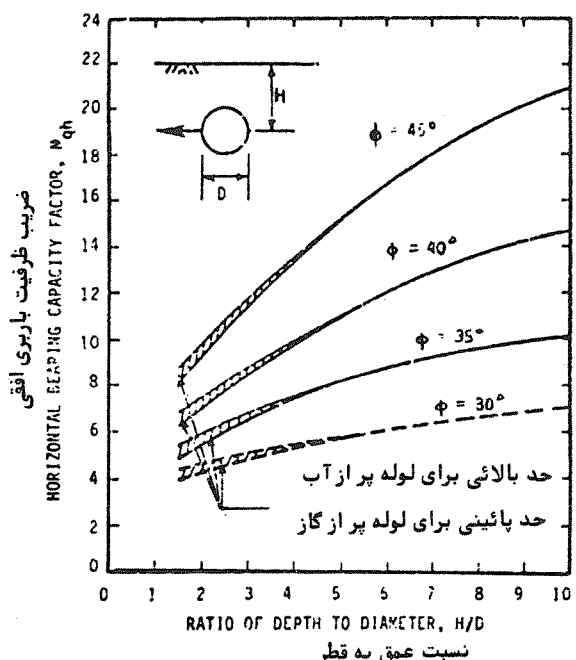
$\alpha$  - مدول الاستیستیته ابتداعی (تنش صفر)

$\sigma_y$  - تنش تسلیم موثر (تنش زانوی منحنی تنش - کرنش، حدوداً "معادل ۵ درصد کرنش در لوله است.

$r$  - ثابت های فرمول رامبرگ - اسکود.



شکل ۶- نمایش رابطه رامبرگ - اسکود برای API-5LX60



شکل ۶- ضریب طرفیت بار برابر افقی برای ماسه به صورت تابعی از نسبت عمق به قطر لوله مدفعون (مرجع ۶)

#### ۴-۳-۴- انتخاب پارامترهای خاک

"عمولاً" در طرح شالوده ها انتخاب مقادیر دست پائین برای پارامترهای مقاومت برشی خاک محتاطانه است و در نتیجه این عمل تحمل بار برابر خاک کمتر از مقدار واقعی تخمين زده می شود. اما در مورد محاسبه اثرات خاک بربوی لوله عکس این باید صورت پذیرد. چون که بار خاک بربوی لوله در محل گسل تاثیر کاهنده روی تنشهای دارد، لذا محتاطانه این است که پارامترهای مقاومت خاک دست بالا اختیار شود. نمو افزایش بارگذاری برای خاک های رسی موجب افزایش سختی و مقاومت نهایی می گردد. اما در مورد خاک های غیر چسبنده دانه ای افزایش سریع بارگذاری اثرات محسوسی ندارد. در نتیجه احتیاجی به افزایش ضرایب طرفیت بار برابر خاک موضوع بحث این فصل به خاطر اعمال سریع بارها نمی باشد.

۴- رفتار لوله در تحت کرنش های محوری بزرگ  
مصالح لوله هایی که در صنعت نفت و گاز به کار می روند از انواع X-60، X-65 و X-70 هستند. رابطه تنش - کرنش نوعی برای لوله های API-5LX60 مشابه شکل ۶ میباشد. این منحنی را می توان با

می دهد .

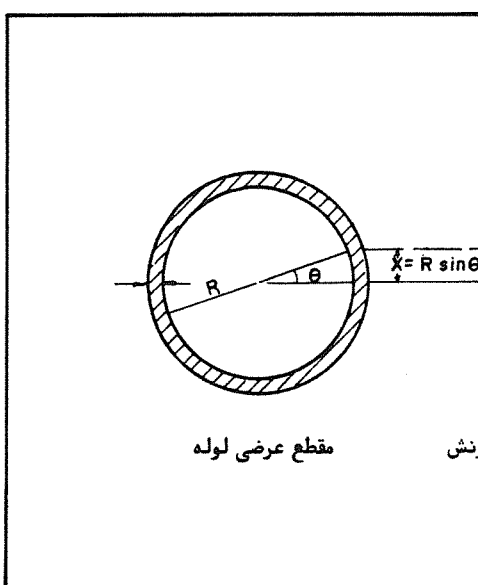
وقتی که لوله در کشش تحت کرنش قرار می گیرد بسیار شکل پذیر است و قادر است قبل از حدوث گسیختگی تحت تاثیر کرنشهای بزرگ قرار گیرد . اما ممکن است به علت نقصهای ناشی از جوشکاری و عدم یکنواختی در ضخامت جدار لوله، تشسلیم وغیره، در آن تمرکز کرنش ایجاد گردد . بنابراین ماکریم کرنش محاسبه شده  $\epsilon_{max} = \epsilon_a + KR$  را باید به مقداری بسیار کمتر از طرفیت نهایی کرنشی فولاد محدود کرد . در صورت وجود کنترب مرغوبیت دقیق برای اطمینان از یکنواختی خواص لوله و بازرسی جوشکاری برای به حداقل رساندن عیوب جوشکاری در منطقه ای که لوله بهشت تحت تاثیر حرکت گسل فشار می گیرد ، یک حد بالائی ۵ تا ۳ درصد برای محدود کردن ماکریم کرنش محاسبه شده معقول است .

### ۵- روش تقریبی برای تخمین اثرات حرکات گسل

تأثیر حاصله از حرکت گسل عبارت است از کرنش محوري و خمشي لوله در نزدیکی گسل (شکل ۱) هر دو این اثرات در محل عبور از گسل ماکریم است . مشاهدات عینی خطوط لوله در محل هایی که زمین گسیخته شده، تجربیات آزمایشگاهی و نیز بررسی های عددی با کامپیوتر مولید این نکته است که تغییر مکان نسبی جانبه و قائم از مقدار ماکریمی در محل گسل تا حدود صفر در طول مشخصی از لوله تغییر می کند . در تابعی منطقه حرکت نسبی، اتحنا، لوله الزاماً ثابت است . در فاصله از گسل، شاععهای اتحنا، افقی و قائم عبارتند از :

(۹)

$$R_{cl} = \frac{1}{K_h} = \frac{F_x C_{p,j}}{P_x} R_{cv} = \frac{1}{K_v} = \frac{F_x C_p}{q_x}$$



وضعیت کرنش محوري  $\epsilon_y$  و اتحنا  $K$  و همچنین ارتباط آنها با نیروی محوري  $F$ ، و لنگر خمشی  $M$  در مقطع عرضی لوله در شکل ۷ نشان داده شده است . با انتگرال گیری توزیع تنش در روی مقطع عرضی می توان مقادیر  $F$  و  $M$  را برای هر مقدار مشخص کرنش محوري  $\epsilon_y$  و اتحنا  $K$  بدست آورد . با انجام این عمل برای هر لوله مشخصی می توان نشان داد (مرجع ۴) که تا زمانی که ماکریم کرنش خمشی کمتر از

$$(6) \quad \epsilon_b = KR \quad ; \quad 0.8 \epsilon_a$$

باشد ، نیروی محوري  $F$  مستقل از اتحنا  $K$  می باشد . در این صورت

$$(7) \quad F = 2\pi R t \sigma_a$$

در اینجا

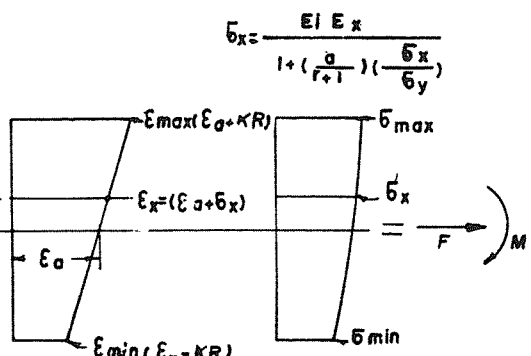
$\sigma_a$  - تنش محوري نظير کرنش  $\epsilon_a$   
 $R_t$  - بهترتی شاعع متوسط و ضخامت متوسط  
 همچنین وقتی که رابطه زیر برقرار باشد .

$$(8) \quad \epsilon_{min} = \epsilon_a - KR \quad ; \quad \frac{\sigma_y}{F}$$

که در آن  $\epsilon_{min}$  کرنش می نیم می باشد ، سختی خمشی لوله در مقایسه با سختی خمشی اولیه قابل اغماض می گردد . در این صورت لوله تقریباً تمامی سختی خمشی خود را از دست می دهد ، پسون که تغییرات تنش در امتداد قطر لوله ناچیز است و این به خاطر این است که کرنش در امتداد تمامی مقطع عرضی چنان زیاد است که وضعیت تنش-کرنش نظیر قسمت تحت منحنی شکل ۶ می باشد .

در چنین وضعیتی لوله همانند کابل بدون سختی خمشی رفتار می کند . مقابله با نیروهای جانبه وارد بر لوله با ایجاد کرنش محوري در اثر اتحنا، طولی صورت میگیرد و لنگر خمشی ایجاد شده ناچیز است .

$$\sigma_x = \frac{EI E_x}{1 + (\frac{a}{r+1}) (\frac{\sigma_x}{\sigma_y})}$$



کرنش لوله برای میانگین کرنش  
 غ و اتحنا  $\epsilon_y$

شکل ۷- رابطه شماتیک بین نیروها و کرنش در لوله در مقطع عرضی

نمایانی که شرایط معادلات ۷ و ۸ برقرار باشد، میتوان لوله را بافرض عدم سختی خمشی تحلیل کرد . حتی اگر این شرایط صادق نباشد تحلیل مذکور با اغماض سختی خمشی تخمین محاطه اهای از اتحنا به دست

که در اینجا  
 $P_x$  - نیروی جانبه در واحد طول در فاصله  $x$  از گسل که در حالت حدی در منطقه جابجایی برابر  $p_0$  و ثابت اختیار می شود .

از  $\Delta\gamma$  اتفاق می‌افتد.

$\Delta\gamma$  - حرکت جانبی گسل در امتداد عمود بر لوله

$\Delta\eta$  - جایگاهی قائم گسل

بافرض شعاع‌های انحناه افقی و قائم ثابت  $R_{cl}$  و  $R_{cv}$  در محدوده طول‌های  $L_{cl}$  و  $L_{cv}$  در طرفین گسل، و نیز فرض مستقیم باقیماندن و عدم جایگاهی بقیه لوله واقع بین نقاط مهار شده نسبت به میان اطراف، موجب ساده شدن بسیار در تعیین اثرات حرکت گسل می‌گردد. اگر  $\beta$  زاویه‌ای باشد که لوله با گسل می‌سازد و طول‌های مهار شده  $L_1$  و  $L_2$  در طرفین گسل باشد (شکل ۱)، از دیاد طول کلی،  $\Delta L_{cl}$ ، رامی توان به صورت زیر بیان کرد.

$$\Delta L_{cl} = \frac{1}{2} [R_{cv} \theta_v - L_{cv}] + [\Delta x] \quad (12)$$

ناظرمانی که  $L_1$  و  $L_2$  هر دواز  $L_{cl}$  بزرگترند رابطه فوق برقرار است، پس از جایگزینی برای زوایای  $\theta_v$  و توجه به اینکه این زوایا کوچکند، برای حرکات افقی  $\Delta\gamma$  و قائم  $\Delta\eta$  گسل داریم:

$$(13)$$

$$\Delta L_{cl} = \frac{(\Delta\gamma \sin \beta)^2}{3L_{cl}} + \frac{2\Delta^2\eta}{3L_{cv}}$$

که در آن

$$L_{cl} = (R_{cl} \Delta\gamma \sin \beta)^{1/2} ; L_{cv} = (2R_{cv} \Delta\eta)^{1/2} \quad (14)$$

توجه کنید که اگر  $\Delta L_{cl} > 0$  باشد، لوله در فشار خواهد بود و خمش موضعی و کمانش باید بررسی شود.

از دیاد طول کلی،  $\Delta L_{cl}$  را می‌توان طور دیگری، یعنی با انتگرال کرنش  $\epsilon_x$  در طول لوله و در طرفین گذراز گسل بیان نمود. کرنش  $\epsilon_x$  را می‌توان بر حسب تنش محوری  $\sigma_x$  با استفاده از رابطه تنش و کرنش مناسب (مثلًا رابطه رامبرگ-اسکود معادله (۵)) به شرح زیر بیان نمود.

$$(15)$$

$$\Delta L = \epsilon_y \int_0^{L_1} B_x [1 + C(|B_x|)^r] dx + \epsilon_y \int_0^{L_2} B_x [1 + C(|B_x|)^r] dx$$

$$\epsilon_y = \frac{\sigma_x}{E_i}, B_x = \frac{\sigma_x}{\sigma_y}, \epsilon_y = \frac{\sigma_y}{E_i}$$

در اینجا

ماکریم تنش محوری،  $\sigma_y$  در لوله در محل گذر از گسل اتفاق می‌افتد و در سایر نقاط لوله به علت حضور نیروی اصطکاکی طولی  $t_u$  روی لوله کاهش می‌باید. بنابراین در فاصله  $x$  از گسل تنش محوری  $\sigma_x$  برابر است با:

$$\sigma_x = \sigma_a - \xi_0 \frac{t_u}{A_p} dx \quad (16)$$

که در آن

$A_p$  - مساحت مقطع عرض لوله است.

مقادیر نیروی اصطکاکی طولی در قسمت‌های مستقیم و منحنی لوله متفاوت است، بنابراین از دیاد طول را با جمع از دیاد طول‌های قسمت‌های مستقیم و منحنی لوله بدست می‌وریم. بنابراین:

$$\Delta L_a = \Delta L_{s1} + \Delta L_{s2} + 2\Delta L_c$$

$$\Delta L_c = \epsilon_y \left( L_{cl} \left( \frac{B_s + B_g}{2} \right) + \frac{C}{h_c(r+2)} [(B_g)^{r+2} + (B_s)^{r+2}] \right)$$

$$\Delta L_{s1} = \epsilon_y \left( L_{cl} \left( \frac{B_s + B_g}{2} \right) + \frac{C}{h_s(r+2)} [(B_g)^{r+2} - (B_s)^{r+2}] \right)$$

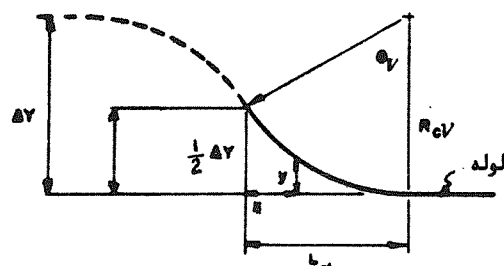
$q_x$  - نیروی قائم خاک در واحد طول در فاصله از گسل که در حالت حدی در منطقه جایگاهی برابر  $q_x$  و ثابت اختیار می‌شود.

$F_x$  - کشن محوی در لوله به فاصله  $x$  از گسل که در حالت حدی  $F_x = q_x A_p$ .

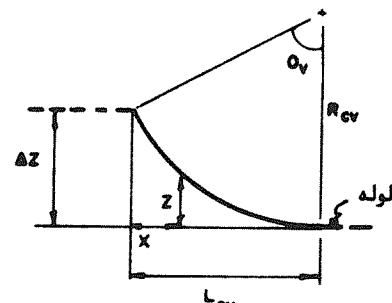
$A_p$  - مساحت مقطع عرضی لوله

$K_h$  - انحنای افقی و قائم

$C_p = 1 - \frac{P_f \pi D^2}{4F_M}$  ضریب تصحیح برای احتساب انحنای اضافی ناشی از فشار داخلی در منطقه خم شده خط لوله است. افزایش نیروی کشی موجب کاهش شعاع انحنای می‌گردد.



تفییر مکان جانبی



تفییر مکان قائم

شکل ۸- تغییر شکل لوله با انحنای ثابت

شکل ۸ رابطه بین تغییر مکان جانبی و فاصله از گسل را با فرض شعاع انحنای ثابت در منطقه تغییر مکان جانبی و قائم گسل را در آن  $\theta_{cl}$  داده شده که در آن  $F_M$  بطور معمولی با کمک ماکریم نیروی محوری،  $\sigma_x$ ، تقریب زده شده است، تغییر زوایای جانبی و قائم لوله به ترتیب عبارتند از:

$$\theta_{cl} = \text{Arc Cos} (1 - \frac{\Delta y}{2R_{cl}}) \quad (10)$$

$$\theta_v = \text{Arc Cos} (1 - \frac{\Delta z}{R_{cv}}) \quad (11)$$

در اینجا

$$= طولی از لوله است که در امتداد آن تغییر$$

مکان جانبی ناشی از انحنای  $K_h$  اتفاق می‌افتد.

- طولی از لوله است که در امتداد آن تغییر مکان جانبی ناشی

$$\Delta L_{s2} = e_y [L_{s2} \frac{B_s + B_{s2}}{2} + \frac{C}{h_s(r+2)} [(B_s)^{r+2} - (B_{s2})^{r+2}]]$$

$$L_{s2} = L_1 - L_{c2}; L_{s2} = L_2 - L_{c2}; B_a = \frac{\sigma_a}{\sigma_y}$$

$$B_s = B_a - h_c L_{c2}; B_{s2} = B_s - h_s L_{s2}; B_{s2} = B_s - h_s L_{s2};$$

$$h_c = \frac{t_{uc}}{A_p \sigma_y} \quad h_s = \frac{t_{us}}{A_p \sigma_y} \quad (17)$$

$t_{us}$  و  $t_{uc}$  به ترتیب نیروهای اصطکاکی طولی در قسمتهای منحنی و مستقیم لوله می‌باشند.

### ع-مثال

در این قسمت ضمن مثالی قدمهایی که باید برای محاسبه تأثیرات حرکت گسل بر روی خط لوله طی گردد به طور کامل تشریح می‌گردد. یک لوله ۴۲ اینچ بدون فشار با خصامت جدار ( 0.562 in ) ۱. ۴۲۷۵ cm از گسلی با زاویه  $\beta = 65^\circ$  گذر می‌کند. زاویه لغزش شبیه گسل  $\Psi = 60^\circ$  است و جایجای لغزش جانسی ( 15 ft )  $457\text{cm}^3$  می‌باشد که موجب کشش در خط لوله می‌گردد.

لوله در عمق ( 3 ft )  $91\text{cm}^3$  در ماسه خشک با واحد وزن  $130\text{kg/m}^3$  و زاویه اصطکاک داخلی  $\Phi = 35^\circ$  دفن شده است. زاویه اصطکاک بین خاک و لوله  $\delta = 28^\circ$  و ضرب فشار خاک در سکون  $K_0 = 0.5$  می‌باشد.

منحنی نتش - کرنش برای لوله 60 X 60 API-51 در شکل ۶ نشان داده شده است و می‌توان آن را با رابطه رامبرگ - اسگود با تابتهای  $r=21.02$ ,  $\alpha=38.26$ ,  $\sigma_y=4.725\text{Ton/Cm}^2$  ( 67.5 ksi ) و مدول الاستیسیته ابتدائی  $E_i=2100\text{Ton/cm}^2$  ( 30000ksi ) تقریب زد.

فرض می‌شود که خط لوله مستقیم است و هیچگونه انحنای، زانوی، انشعاب، یا تقاطع در مجاورت گذر از گسل وجود ندارد.

جایجای صفحات گسل برآورده با ( با توجه به هندسه گسل شکل ۲ ) :

$$\Delta X = \Delta_s \cos \beta = 193.14\text{cm} ( 6.34 \text{ ft } )$$

$$\Delta Y = \Delta_s \sin \beta = 414.18\text{cm} ( 13.6 \text{ ft } )$$

$$\Delta Z = 0$$

ذیلاً روش محاسبه تنشهای ناشی از حرکت گسل قدم به قدم با حل مثال فوق تشریح می‌گردد.

۱- ابتدا باید مقاومت‌های نهایی ( نیروهای در واحد طول خط لوله ) جانسی،  $P_u$ ، محوری،  $t_u$ ، و قائم رو به بالا  $q_u$  را باستفاده از روابط قسمت دوم محاسبه کرد. چون برای لوله‌های با عمق دفن کم مقاومت رو به بالا خاک به مرتبه کمتر از مقاومت رو به پائین است که خاک عرضه می‌کند، لذا می‌توان فرض کرد که تمام حرکت قائم خط لوله در جواب به سمت بالا صورت می‌گیرد. با این تقریب احتیاجی به محاسبه مقاومت رو به پائین خاک نیست. با توجه به این نکات داریم.

$$P_u = 25.7\text{ Ton/m} ( 17.3 \text{ kips/ft } )$$

$$t_u = 4.1\text{ Ton/m} ( 2.71 \text{ kips/ft } )$$

مقاومت طولی در نقاطی از لوله که تحت تاثیر خمشی ناشی از بار

افقی شدید خاک است برابر  $44t_u = 10.0\text{ Ton/m}$  ۲. اختیار می‌شود. چون در مثال حاضر حرکت گسل مولفه قائم ندارد، احتیاجی به محاسبه مقاومت رو به بالا خاک نیست.

۳- ماکریم تنش محوری،  $\sigma_g$ ، در محل گسل را باید اختیار کرد، که در اینجا برابر ( 71.1 ksi )  $4.98\text{ Ton/cm}^2$  اختیار می‌شود. بار محوری ماکریم،  $F_M$ ، نظریه این برابر است با :

$$F_M = \sigma_a A_p = 2356\text{ Ton} ( 5202 \text{ kips } )$$

۴- در این مرحله شاعهای انحنای قائم و افقی را باید محاسبه کرد. چون در مثال حاضر حرکت لوله فقط در صفحه افقی فرض شده است، در نتیجه انحنای قائم موجود نخواهد بود، و لزومی به محاسبه شاعه انحنای قائم،  $R_{cv}$ ، نیست. اگر تاثیرات فشار داخلی نادیده گرفته شود، شاعه انحنای قائمی،  $R_{cl}$ ، از معادله ۹ برابر ( 301 ft )  $91.7\text{m}$  به دست می‌آید.

کرنش خمشی،  $\epsilon_b$  برابر  $0.58\%$  ( بافرض فقط وجود انحنای جانسی ) و کرنش محوری،  $\epsilon_b$  برابر  $1.46\%$  به دست می‌آید. سه شرط باید کنترل شوند که به شرح زیر هستند.

الف -  $\epsilon_b = 0.40\epsilon_a$  و بنابراین برطبق معادله ( ۶ )، انحنای باید تاثیر زیادی بر سیروی محوری لوله داشته باشد.

ب -  $\epsilon_{min} = 0.88\%$  و بنابراین بر طبق معادله ۸ سختی خمشی قابل اغماض است.

$$ج - \epsilon_{max} = 2.04\% \text{ و که زیاد نیست.}$$

۴- تغییرات طول لوله به مقدار جایجایی گسل در جهات  $X$ ،  $Y$ ، و  $Z$  بستگی دارد. در این مرحله تغییر طول لازم برای حرکت مشخص گسل محاسبه می‌شود. برای هر دو طرف گسل، طول کلی لوله می‌شود. لذا از معادلات ( ۱۲ ) و ( ۱۴ ) داریم :

$$L_{cl} = (R_{cl} \Delta_s \sin \beta)^{1/2} = 19.5\text{ m} ( 64 \text{ ft } )$$

( تغییر انحنای قائم صفر است )

$$\Delta_{lr} = \Delta_s \cos \beta + \frac{(\Delta_s \sin \beta)^2}{3L_{cl}} + \frac{2\Delta_n^2}{3L_{cv}} = 2.23\text{ m} ( 7.3 \text{ ft } )$$

طولی از لوله که در طرفین گسل برای انتقال نیروی محوری، از طریق اصطکاک طولی، لازم است از معادله زیر به دست می‌آید.

$$( 18 ) \quad L_1 = L_2 = \frac{F_M - t_{uc} L_{cl}}{t_u}$$

فرض بر این است که طول‌های قطعات لوله در طرفین گسل به قدر کافی باشد تا از طریق مقاومت اصطکاکی بطور موثری لوله را مهار نماید. اگر طول مدفعون در اختیار، به علت بلوكهای مهاری، انشعاب، خم‌های تند یا سایر نقاط مهاری کمتر از مقدار محاسبه شده از معادله بالا باشد، می‌باید اگر طول‌های واقعی  $L_1$  و  $L_2$  به جای مقادیر حاصل از معادله بالا در محاسبات بعدی به کار رود.

در مثال حاضر طول مهاری لازم در طرفین گسل از معادله فوق برابر ( 1830 ft )  $558\text{m}$  به دست می‌آید. فرض می‌شود که در طرفین گسل این طول موجود است، زیرا در مثال حاضر فرض شده است که تا فواصل زیادی هیچگونه نقطه مهار شده موثری موجود نیست.

۵- ازدیاد طولی را که تنش محوری متوسط فرضی در محل گسل ایجاد می‌کند باید محاسبه شود. ازدیاد طول قسمت‌های منحنی لوله در

محاورت گسل،  $\Delta L_C$ ، و ازدیاد طول لوله در منطقه مستقیم،  $\Delta L_{S1}$  و  $\Delta L_{S2}$  از معادلات (۱۷) محاسبه می‌شود. نتیجه محاسبات به قرار زیر است.

$$\Delta L_C = 0.155^m \quad (0.51 \text{ ft})$$

$$\Delta L_{S1} = \Delta L_{S2} = 0.634^m \quad (2.08 \text{ ft})$$

$$\Delta L_a = \Delta L_{S1} + 2\Delta L_C = 1.578^m \quad (5.18 \text{ ft})$$

ع- مقایسه تغییر طول لازم  $\Delta L_a = 2.23^m$  با  $\Delta L_g = 1.578^m$  نشان‌دهنده این است که تنش محوری متوسط فرضی در محل گسل در مرحله دوم کم است و باید زیادتر شود، لذا یک سعی دیگر باید انجام گیرد.

طرز عمل برای دور دوم محاسبات به شرح زیر است:

۱) مشابه مرحله اول دور اول

$$(2) \quad \sigma_g = 5.2 \text{ Ton/cm}^2 \quad (74.2 \text{ ksi})$$

$$\epsilon_a = 3.39\%$$

۳)  $R_{gl} = 95.4^m \quad (313 \text{ ft})$  (از معادله ۹). در نتیجه  $\epsilon_b = 0.55\% = 0.16\epsilon_a$  و  $\epsilon_{min} = 2.65\%$  نشان می‌دهد که تاثیر خشن قابل اعتماد است  $\epsilon_{max} = 3.94\%$  که در حاشیه محدوده قابل قبول است.

۴- تغییر طول لازم  $\Delta L_a = 2.22m \quad (7.28 \text{ ft})$  برابر (۱۲) از معادله

۵) بددست می‌آید. از معادله (۱۸) داریم  $L_1 = L_2 = 583^m \quad (1913 \text{ ft})$

۶- ازدیاد طول موجود،  $\Delta L_g$ ، از معادله (۱۷) برابر  $2.21m \quad (7.26 \text{ ft})$  بددست می‌آید.

ع- چون در این دور از محاسبات ازدیاد طول لازم تقریباً "برابر ازدیاد طول موجود است، لذا احتیاجی به تکرار محاسبات نیست.

تنش و کرنش محوری در محل گسل عبارتند از  $2\text{Ton/cm}^2$  و  $5.26\text{Ton/cm}^2$ ، ماکریسم تنش و کرنش در مقطع عرضی عبارتند از  $5.39\%$  و  $3.94\%$   $\epsilon_{max} = 5.17 \text{ Ton/cm}^2$  مینیمم تنش و کرنش در مقطع عرضی عبارتند از  $2.84\%$  و  $\epsilon_{min} = 2.84\%$ . این مقادیر در واقع تخمین دست بالا هستند و تنش‌ها و کرنش‌های واقعی احتمالاً کمتر از این مقادیر خواهد بود.

## ۷- نتیجه‌گیری و توصیه‌ها

تغییر مکان‌های گذرا در فواصل دور از گسل قابل اعتماد نیستند ولی آنقدر هم بزرگ نیستند که ایجاد درد سر نمایند، مخصوصاً "اگر نظر تغییر مکان نسبی زیاد هم نباشد. اما در مجاورت گسل حرکات نسبی زیادی ممکن است اتفاق افتد. در صخره‌ها این حرکات نسبی در فواصل نسبتاً "کوتاهی حادث می‌شوند، و بنابراین برای حفاظت از لوله تمییداتی باید اتخاذ نمود. رعایت نکات زیر اثرات این حرکات نسبی را تخفیف می‌دهند.

۱) درصورت امکان، خط لوله‌ای که از گسل لغزش جانی می‌گذرد باید با چنان زاویه‌ای از آن بگذرد که در خط لوله کشش ایجاد شود.

۲) خط لوله از گسل‌های معکوس باید بهصورت مایل گذر کند، و این زاویه تمایل باید تا حد امکان کوچک باشد، تا کرنش‌های فشاری تقلیل یابند. اگر انتظار می‌رود که تغییر مکان لغزش جانی نیز زیاد باشد، زاویه گذرا از گسل باید طوری انتخاب گردد که در لوله ازدیاد طول تولید

## منابع

- Yasseri, S.F., 1985, "Design of Buried Tunnels for Earthquake Loads," Proceedings Second Seminar on Tunneling, Ministry of Plan and Budget, Tehran.
- Newmark, N.M., and W.J. Hall, 1975, "Pipeline Design to Resist Large Fault Displacement," Proceedings, U.S.National Conference on Earthquake Engineering ann Arbor, Michigan, EERI.
- Brumund, W.F., and G.A. Leonards, 1973, "Experimental Study

of Static and Dynamic Friction Between Sand and Typical Construction Materials," Journal of Engineering Materials, McGraw-Hill, New York.

Horizontal Motion of Pipes, "Journal of the Geotechnical Engineering Division, ASCE, Vol. I03, No. GTI0, PP.III9-II42.

4. Kennedy, R.P., A.W. Chow, and R.A. Williamson, 1977, "Fault Movement Effects on Buried Oil Pipeline," Journal of the Transportation Engineering Division. ASCE, Vol. I03, No. TES, PP. 617-633.
5. Audibert, J.M.E., and K.J Nyman, 1977, "Soil Restraint Against Horizontal Motion of Pipes, "Journal of the Geotechnical Engineering Division, ASCE, Vol. I03, No. GTI0, PP.III9-II42.
6. Trautman, C.H. and T.D. O'Rourke 1983, "Load-Displacement Characteristics of Pipe Affected by Permanent Earthquake Ground Movements," Proceedings, International Symposium on Lifeline Earthquake Engineering, Portland, Oregon, ASME, PVP-77, PP. 254-262.
7. Bowles, J. 1977, " Foundation Analysis and Design," 2ed, McGraw-Hill, New York.

